

## ТЕРМОДИНАМІЧНІ ТА КІНЕТИЧНІ ПАРАМЕТРИ ЛІТІЄВОЇ КОІНТЕРКАЛЯЦІЇ ФТОРОВАНОГО ДИСУЛЬФІДУ ТИТАНУ

I. Григорчак

Національний університет “Львівська політехніка”  
бул. С.Бандери 12, 79013, Львів, Україна

(Отримано 26 травня 2004 р.)

Методом ЕРС з використанням формалізму спектроскопії хімічного потенціалу досліджено поведінку термодинамічних параметрів процесу коінтеркалювання дисульфіду титану. Визначено опір стадії перенесення заряду та коефіцієнти дифузії іонів літію в досліджуваних зразках. Встановлено, що фторування  $TiS_2$  призводить до суттєвого підвищення зміни енергії Гіббса та покращання кінетичних параметрів літієвої коінтеркаляції.

**Ключові слова:** інтеркаляція, коінтеркаляція, діаграми Найквіста, ЕРС.

**PACS:** S0013-4686(02)0000-8-7

**УДК:** 541.136.2

### Вступ

Сьогодні достатньо обґрунтований концептуальний підхід [1], згідно з яким інтеркаляція визнається як один з перспективних методів нанотехнологій для структур з ”гостевими” ступенями вільності. Особливу увагу привертають до себе коінтеркаляційні процеси – одночасне або почергове впровадження в матеріал – ”господар” різного сорту ”гостевих компонентів”. З погляду кристалоінженерії катодно-активних матеріалів з високим окисно-відновним потенціалом впровадження літію (задля забезпечення високої густини енергії у джерелі струму) найпершою задачею є вияснення основних закономірностей коінтеркалювання діаметрально протилежними за окисно-відновною дією – фтором та літієм. Оскільки методи електрохімічного співінтеркалювання виявилися не зовсім зручними в означеному контексті, то нами було застосовано змішані коінтеркаляційні технології, суть яких полягає в попередньому галогенуванні катодно-активного матеріалу термічно-експозиційним способом, а струмоутворююча реакція забезпечується його електрохімічною інтеркаляцією літієм.

### I. Методика експерименту

Як модельний об'єкт обрано добре відомий (на приклад, [2–4]) в технології літієвих джерел струму дисульфід титану ( $TiS_2$ ). Його отримували реакцією при високих температурах ( $900 - 1000^{\circ}C$ ) вихідних компонентів, взятих у стехіометричному співвідношенні з подальшим відналом синтезованого матеріалу в температурному полі  $250 - 350^{\circ}C$  з градієнтом  $10 - 20^{\circ}C/cm$ , а полікристалічні зразки готовили із подрібнених фракцій з середнім діаметром частинок  $\sim 75 \text{ мкм}$ . Попереднє інтеркалювання проведено

термічно-експозиційним способом у потоці молекулярного фтору. Тривалість експонування становила 30 і 60 хв при температурах, відповідно, 25 та  $300^{\circ}C$ .

### II. Результати та їх обговорення

Мас-спектральний аналіз отриманих інтеркалятів після першого режиму фторування ( $30 \text{ хв}, 25^{\circ}C$ ) виявив сигнал від фтору дуже малої інтенсивності. Збільшення тривалості експозиції вдвічі з одночасним підвищеннем температури процесу до  $300^{\circ}C$  призводить до інтенсифікації взаємодії ”господар” – ”гість” не тільки в сенсі вищого концентраційного вмісту останнього, але і в напрямку галогенхалькогенного заміщення – як завершальної стадії інтеркалювання. У цьому разі появляється інтенсивний сигнал від фтору і спостерігаються групи ліній, які відповідають атомарним комплексам  $Ti - F$ . Це дає підстави зробити висновок, що при зазначених режимах проведення процесу маємо співіснування фаз інтеркаляційного впровадження ( $TiS_2F_y$ ) та інтеркаляційного заміщення ( $TiF_3$ ) і, можливо, фази, яку можна охарактеризувати як автоінтеркальовану власними атомами халькогену ( $TiS_{2-y}F_{z+y}S_y$ ). При цьому очевидним є те, що кількісні співвідношення між ними будуть визначатися режимами фторування. Рентгеноструктурний аналіз підтверджив (рис. 1) вищеозначені модифікування вихідної структури, одночасно вказуючи на помітну зміну спектра, навіть, при перших параметрах введення молекул фтору.

Як виявилося, режими фторування суттєво впливають і на термодинаміку подальшого інтеркалювання катіонами літію. З рис. 2 видно, що зростання кількості впровадженого фтору збільшує ступінь літієвого ”гостевого” навантаження при розряді до 1,5 В (а значить, і питому ємність), одночасно виположуючи функціональну залежність зміни енергії Гіббса від мольного літієвого навантаження.

ження –  $\Delta G(x)$ . З огляду на концентраційну поведінку ентропії розчинення ( $\Delta S$ ) літію в  $Li_xTiS_2F_y$  (рис. 3), максимум диференціальної ємності в околі  $x = 0,75$  можна пов'язати з фазовим переходом другого роду в “тостівій” підсистемі, індукованій галогенами. Щікаво зазначити, що температурна залежність ентропії розчинення літію після сильнішого фторування набуває осциляційного характеру як на

початкових його стадіях, так і при високих значеннях  $x$  (рис. 4), що може свідчити про немонотонність хвоста густини станів поздовж забороненої зони.

Попередня інтеркаляція фтором дисульфіду титану значно змінює також і кінетику електрохімічного інтеркалювання літієм. Як видно з таблиці зростання ступеня фторування призводить до

#### Вплив ступеня фторування на кінетичні параметри літієвої інтеркаляції дисульфіду титану

Матеріал – ”господар”	Опір стадії переносу заряду, $\Omega \cdot \text{см}^2$	Коефіцієнт Варбурга $\Omega \cdot \text{см}^2 \cdot \text{с}^{-0,5}$
$TiS_2$	150	кінетичний контроль
$TiS_2 \langle F: 25^\circ\text{C}, 30 \text{ хвилин} \rangle$	131	95,4
$TiS_2 \langle F: 300^\circ\text{C}, 60 \text{ хвилин} \rangle$	113	56

збільшення коефіцієнта міжфазної масопередачі при одночасному послабленні дифузійного контролю. Характер діаграм Найквіста для сполук коінтеркалювання  $Li_xTiS_2F_y$  залежно від  $x$  почесно моделюється схемою Рандлеса-Ершлера (зокрема, для  $x = 0,25$ ) і її модифікованим варіантом ( $x = 0,17$ ;  $x = 0,66$ ) (рис. 5) відповідно до дифузійних процесів, що підпорядковуються класичному та неідеальному законам Фіка. Обчислені значення опору стадії перенесення заряду та коефіцієнта Варбурга ( $\sigma$ )

показані на рис. 6. Характерний максимум на залежності  $\sigma(x)$ , найімовірніше пов'язаний з послаблюальною дією термодинамічного фактора Вагнера [5] за рахунок притягання  $Li^+$  до аніонів фторованого “господаря”.

Виготовлений елемент з електрохімічною системою :  $TiS_2F_x \parallel 1,2MLiBF_4$  в  $\gamma$ -бутиrolактоні  $\parallel Li$  показав більш як трикратне зростання питомої ємності (при розряді до 1,5 В) порівняно з аналогічною системою для нефторованого  $TiS_2$ .

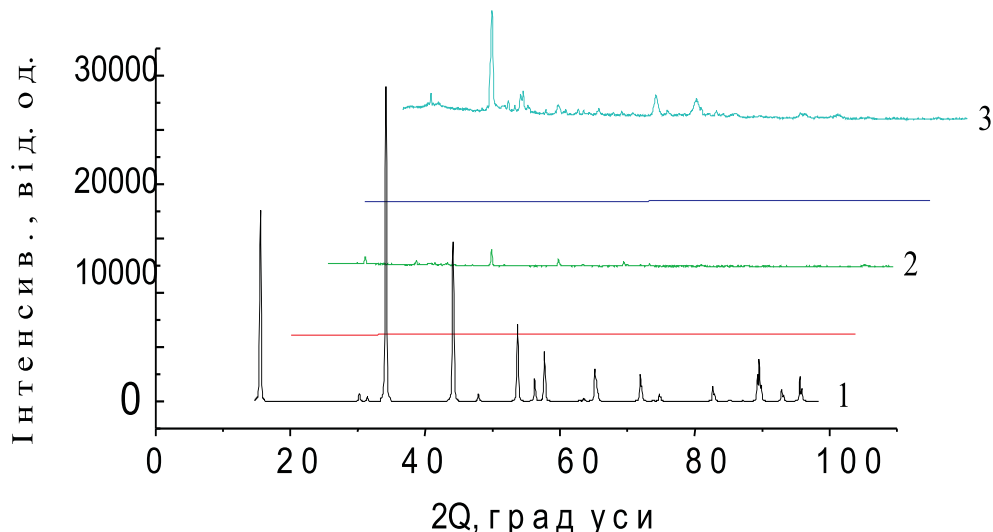


Рис. 1. Рентгенограми чистого (1) та інтеркальованого молекулярним фтором при 25 (2) та 300 °C (3) дисульфіду титану

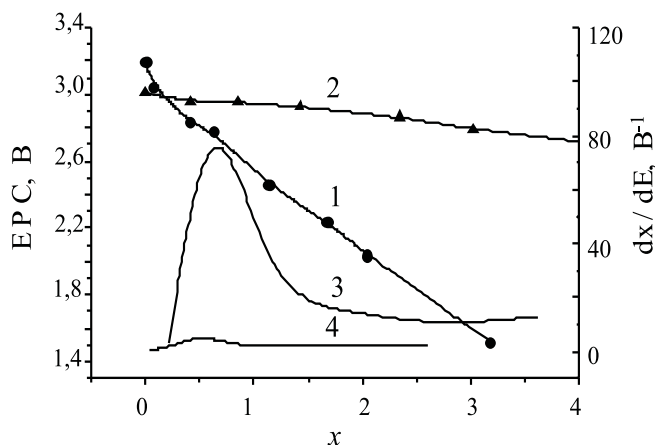


Рис. 2. ЕПС (1,2) і  $d\chi/d(EPC)$  (3,4) як функції кількості впровадженого літію в  $TiS_2$ , після його фторування режимами  $25^{\circ}C, 30$  хв (1,4) та  $300^{\circ}C, 60$  хв (2,3)

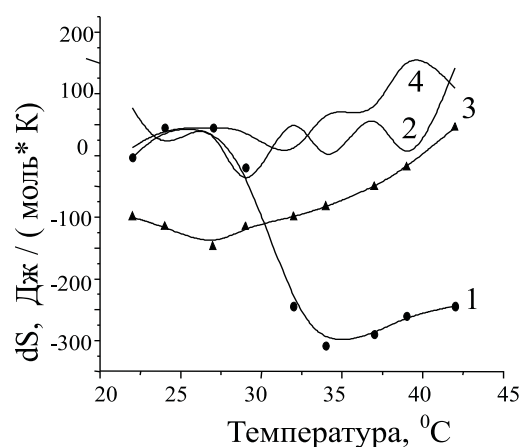


Рис. 4. Температурні залежності ентропії розчинення літію в  $Li_x TiS_2 F_y$  для  $x = 0$  (1,2) та  $x \sim 2$  (3,4), після фторування  $TiS_2$  режимами  $25^{\circ}C, 30$  хв (1) та  $300^{\circ}C, 60$  хв (2)

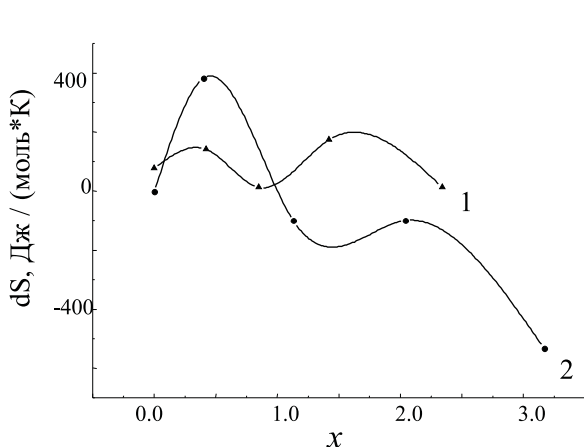


Рис. 3. Ентропія розчинення  $Li$  в  $Li_x TiS_2 F_y$  як функція  $x$  після фторування  $TiS_2$  режимами  $25^{\circ}C, 30$  хв (1) та  $300^{\circ}C, 60$  хв (2)

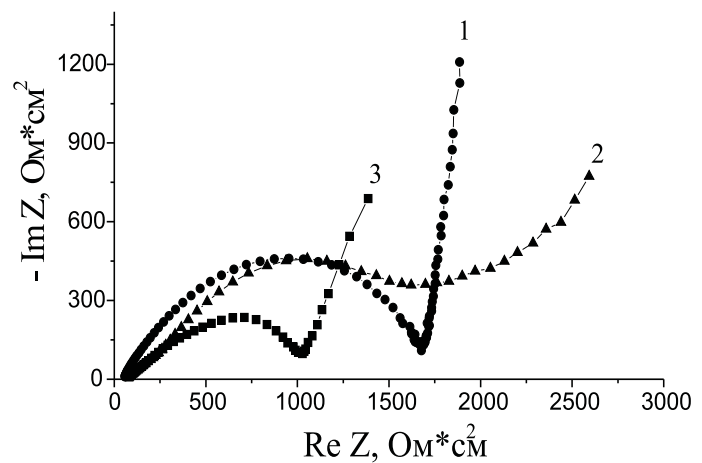


Рис. 5. Діаграми Найквіста для  $Li_{0,17} TiS_2 \langle F \rangle$  (1),  $Li_{0,25} TiS_2 \langle F \rangle$  (2),  $Li_{0,66} TiS_2 \langle F \rangle$  (3). Фторування при  $300^{\circ}C$  протягом 60 хв

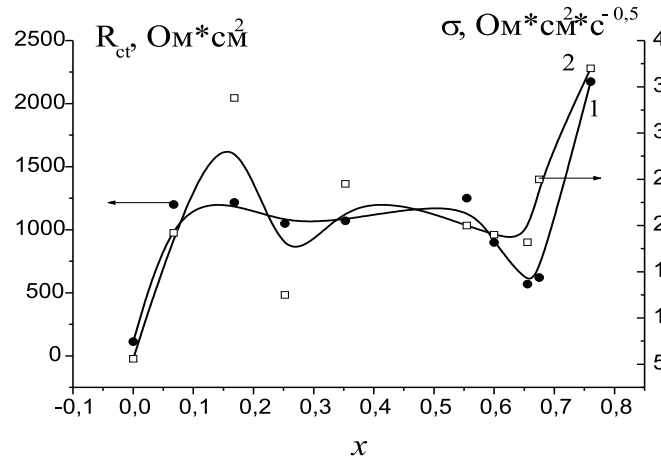


Рис. 6. Опір стадії переносу заряду (1) та кофіцієнт Варбурга (2) як функції “гостьового” літієвого навантаження дисульфіду титану, фторованого при  $300^{\circ}C$  протягом 60 хв

## Висновки

У галоген-літієвих коінтеркалятах дисульфіду титану варіація концентрації першого з зазначених "тостьевих" компонентів є ефективним методом ке-

рування функціональною залежністю зміни енергії Гіббса від ступеня подальшого літієвого навантаження. Фторування дає змогу більше ніж у три рази підвищити питому ємність  $TiS_2$  – електродів у літієвих джерелах живлення.

## Література

- [1] Григорчак І.І. Інтеркаляція: здобутки, проблеми, перспективи // Фізика і хімія твердого тіла. – 2001. – Т.2. – № 1. – С. 7 – 55.
- [2] Пат. 4772457 США, МКІ C01B 17/00. Titanium disulphide for lithium cells / Panster P., Mueller R., Kleinschmit H. (Germany); Degussci Akflengesellschaft (Frunfurkt, Germany). – № 178324; Заявлено 10.07. 86; Опубл. 20. 09. 89; НКІ 423 /561. – 5 с.
- [3] Surampali S., Chen D. H., Huang C.-K., Deligianannis F., Perrone D. Cycle life, failure modes and safety aspects of secondary lithium cells // Proc. 12-th International seminar on primary and secondary battery technology and application. – Deerfield Beach (USA). – 1995. – 22 р.
- [4] Коровин Н.В. Электрохимическая интеркаляция в электродные материалы. Электродные потенциалы // Электрохимия. – 1998, – Т. 34, № 7, – С. 748–754.
- [5] Коровин Н.В. Интеркаляция в катодные материалы. Коэффициент диффузии лития. // Электрохимия. – 1999, – Т. 35, № 6, – С. 738–746.

## THERMODYNAMICAL AND KINETICAL PARAMETERS OF LI COINTERCALATION OF FTORED TITANIUM DYSULFID

I. Grygorchak

*Lviv Polytechnic National University  
12, S. Bandery Str., Lviv, 79013, Ukraine*

The behaviour of thermodynamical parameters of cointercalation process of titanium disulphide was explored by EMF method with usage of a formalism of spectroscopy of chemical potential. The resistance of charge transfer stage and diffusion coefficients of lithium ions in explored samples was obtained. It is founded, that the fluorination  $TiS_2$  results in essential magnification of Gibbs energy change and enriching kinetic parameters of lithium cointercalation.

**Keywords:** intercalation, cointercalation, Niquist diagrams, EMF.

**PACS:** S0013-4686(02)0000-8-7

**UDK:** 541.136.2